

## Research Paper

# Evaluation of internal surface roughness in fiberglass pipes by surface roughness instruments

Farnoush Aghaei Daneshvar<sup>1\*</sup>, Nasser Talebbeydokhti<sup>2</sup>, Seyed Mehdi Dehghan<sup>3</sup>, Seyed Mohammad Mehdi Elhamian<sup>4</sup>

1. Assistant Professor, Department of Civil and Environmental Engineering, Shiraz University of Technology, Shiraz, Iran

2. Professor, Department of Civil and Environmental Engineering, Head of Environmental Research and Sustainable Development Center, Shiraz University, Shiraz, Iran

3. Associate Professor, Dept. of Civil and Environmental Engineering, Shiraz University of Technology, Shiraz, Iran

4. Faratec N.P. Technology Center, Farassan Industrial Group, Shiraz, Iran

**Received:** 2023/02/03

**Revised:** 2023/02/05

**Accepted:** 2023/04/14

Use your device to scan and read the article online



DOI:

[10.30495/wej.2024.31547.2377](https://doi.org/10.30495/wej.2024.31547.2377)

### Keywords:

Surface roughness measuring devices, glass reinforced plastic pipe (GRP), roughness parameters, sandpaper, U-PVC pipe

### Abstract

**Introduction:** Investigation of the internal surface roughness of fluid transmission systems pipes is very important in the amount of energy loss. Different concepts and methods have been used to examine surface roughness. Some of these methods are based on roughness measurement devices and equipment in this field. Significant researches are done in surface roughness measuring in steel, copper, plastic, or coated pipes.

**Methods:** In this study, the inner surface roughness of fiberglass pipes, has been evaluated using laboratory methods and roughness measuring devices in several diameters and two different types. Calibration and verification results of the surface roughness tester machine on sandpaper and U-PVC pipe wall surfaces are evaluated. In addition, the effect of roughness parameters and their calculated surface roughness and time using of fiberglass pipe have been investigated.

**Findings:** According to the results, the roughness parameters  $R_z$  and  $R_a$  in the cut length of 0.8 and 2.5 respectively are suitable parameters to estimate the roughness of the inner surface of the fiberglass tube. Also, the roughness of the inner surface of biaxial tubes is lower than uniaxial tubes. In addition, in comparing the roughness of newly produced and old fiberglass pipes, the surface roughness parameters decrease due to the passage of time and the use in projects. Whereas, the roughness parameters related to the type of pipe have not changed.

**Conclusion:** Based on the results of the Surftest SJ-210 device has best results with accuracy of the roughness height reported for fiberglass pipes is equal to 98.84%. In U-PVC, similar to fiberglass pipe, the average roughness values has been estimated with high accuracy using the  $R_a$  with a cutting length of 2.5.

**Citation:** Aghaei Daneshvar F, Talebbeydokhti N, Dehghan SM, Elhamian SMM. Evaluation of internal surface roughness in fiberglass pipes by surface roughness instruments. Water Resources Engineering Journal. 2024; 17 (60): 88- 107.

**\*Corresponding author:** Farnoush Aghaei Daneshvar

**Address:** Dept. of Civil and Environmental Engineering, Shiraz University of Technology, Shiraz, Iran.

**Tell:** +989177389499

**Email:** [fdaneshvar@sutech.ac.ir](mailto:fdaneshvar@sutech.ac.ir)

## Extended Abstract

### Introduction

The evaluation of surface roughness is challenging due to its many complexities. A comprehensive definition of surface roughness entails not only measuring the height of roughness, but also considering factors such as distance, various surface designs, materials, and manufacturing methods, all of which contribute to variations in surface roughness. Fiberglass pipes, for instance, are known for their smooth inner surfaces, which offer advantages such as reduced energy loss and resistance to flow. In the past, the roughness of pipe surfaces and the resulting friction loss were determined through hydraulic tests, as there were no profilometric tools available to measure the inner surface roughness of pipes. However, advancements in engineering equipment have led to the use of various tools and methods for measuring surface and pipe wall roughness. The roughness of different types of pipes with modern inner coatings was measured using the Surface Profilometer and Roughness Tester. Additionally, a precise evaluation of the internal surface roughness was achieved by atomic force microscope (AFM) 3D digital images of the surface of a small sample of the pipe with different internal coatings.

### Materials and Methods

In this research, we investigate and study the roughness of the inner surface of the Fiberglass Glass Reinforced Plastic (GRP) pipes of varying diameters using a profilometric tool. To accurately assess the inner surface roughness of fiberglass pipes, a portable surface roughness tester was utilized to verify the accuracy of this device, the surface roughness of a reference piece and a piece of No. 400 sandpaper was measured using this device. Roughness tests were conducted on fiberglass pipes, and roughness and profilometry were measured using a surface roughness tester (Surf test SJ-210). Samples, 30 cm in length, were taken from the walls of fiberglass pipes with diameters of 20, 40, 150, 200, 300, 600, 800, and 1000 mm in uniaxial type. Additionally,

samples with diameters of 200 and 800 mm were prepared in the biaxial type.

### Findings

Surface roughness profiles were generated for each cutoff length across all diameters, and roughness parameters were subsequently calculated. The average absolute roughness ( $\bar{e}$ ) values were then estimated from these parameters. The  $R_z$  parameters, with a cutting length of 0.8, demonstrated relative accuracies of 98.84% and 88.2% for all fiberglass and uniaxial tubes, effectively estimating the average roughness of the fiberglass tube. The minimum calculated error and the most accurate roughness of the inner surface of fiberglass tubes with diameters less than 150 mm were associated with the  $R_a$  roughness parameter at a cut length of 2.5, while for larger diameters, it was more closely related to the  $R_{aesg}$  and  $R_t$  parameters at a cut length of 0.8. Overall, the results indicate that, across all cut lengths, the  $R_a$  roughness parameter exhibited the least error in measuring the roughness of the inner surface of the fiberglass pipes.

### Discussion

In the comparison of the measured roughness values between bi-axial and uni-axial pipes, it was observed that the average roughness value of the inner surface in uni-axial pipes is higher than that of bi-axial pipes for both 200- and 800-mm diameters. This higher roughness is attributed to the greater resistance of the materials used in their construction and the presence of sand in the wall of the uni-axial pipes. Additionally, when comparing the roughness of new and old fiberglass pipes with a diameter of 1000 mm and different lengths, it was found that the roughness of the old pipe is slightly less than that of the new pipe. This reduction in roughness is due to erosion and the natural smoothing of the pipe surface over time. Consequently, the roughness of the pipes decreases with use. It is worth noting that the roughness coefficient increases in the transmission network due to sedimentation. To validate the performance of the roughness testing device, a sample of U-PVC pipe with a

diameter of 120 mm and a length of 30 cm was prepared, and the roughness of its inner surface was measured. The results indicate that the average absolute roughness of the inner surface of the U-PVC pipe, with a cutting length of 2.5, closely matches the reported roughness value of 1.5 microns for a PVC pipe, demonstrating 97.46% calculation accuracy as per available sources.

## Conclusion

In this study, we examined the inner surface roughness of fiberglass pipes using a roughness tester and evaluated it using various roughness parameters. We also investigated the impact of each roughness parameter on estimating the surface roughness. Our experimental results indicate that the roughness parameter  $R_z$  and  $R_a$  with a cutoff length of 0.8 and 2.5 is generally suitable for estimating the inner surface roughness of fiberglass pipes, respectively. Additionally, our measurements revealed that the inner surface roughness of biaxial pipes is generally lower than that of uniaxial pipes. Comparing newly manufactured pipes with old pipes removed from the Sangar water supply transmission line, we found that the surface roughness parameters, based on the difference between the maximum and minimum roughness of the inner surface pipes, are influenced by the pipe manufacturing process. Over time and with use in projects, these parameters decrease due to the erosion of the maximum roughness of the pipe's inner surface. However, the roughness parameters that primarily indicate the average roughness of the pipe surface, and are related to the type of pipe, remain relatively unchanged in old and new pipes, suggesting that the average roughness of the fiberglass pipe surface remains constant over time and use in transmission lines.

Our measurements of the U-PVC pipe also demonstrated the accuracy of the roughness testing device in estimating the inner surface roughness of the pipe. The roughness parameter  $R_a$ , with a cutting length of 2.5, in

the U-PVC pipe, is similar to that of the fiberglass pipe and accurately estimates the average roughness value of this type of pipe. According to the results obtained from the Surftest SJ-210 device, it provides better results than other tools in estimating the roughness of the inner surface of fiberglass pipes. Its calculation accuracy, compared to the reported roughness height for fiberglass pipes, is equal to 98.84%.

## Ethical Considerations compliance with ethical guidelines

The cooperation of the participants in the present study was voluntary and accompanied by their consent.

## Funding

No funding.

## Authors' contributions

Design and conceptualization: Farnoush Aghaee Daneshvar, Nasser Talebbeydokhti, Seyed Mehdi Dehghan.

Methodology and data analysis: Farnoush Aghaee Daneshvar, Seyed Mehdi Dehghan, Seyed Mohammad Mehdi Elhamian.

Supervision and final writing: Farnoush Aghaee Daneshvar, Seyed Mehdi Dehghan.

## Conflicts of interest

The authors declared no conflict of interest.

## مقاله پژوهشی

# ارزیابی زبری سطح داخلی انواع لوله‌های فایبرگلاس با دستگاه اندازه‌گیری زبری سطح

فرنوش آقایی دانشور<sup>\*</sup>، ناصر طالب بیدختی<sup>۲</sup>، سید مهدی دهقان<sup>۳</sup>، سید محمد مهدی الهامیان<sup>۴</sup>  
 ۱. استادیار دانشکده مهندسی عمران و محیط زیست، دانشگاه صنعتی شیراز، شیراز، ایران  
 ۲. استاد گروه مهندسی عمران و محیط زیست، دانشکده مهندسی، دانشگاه صنعتی شیراز و رئیس مرکز توسعه پایدار دانشگاه شیراز، شیراز، ایران  
 ۳. دانشیار دانشکده مهندسی عمران و محیط زیست، دانشگاه صنعتی شیراز، شیراز، ایران  
 ۴. مرکز تکنولوژی فرانک مجموعه تولیدی و صنعتی فراسان، شیراز، ایران

### چکیده

**مقدمه:** بررسی زبری سطح داخلی لوله‌های انتقال سیالات دارای اهمیت بسزایی در میزان افت انرژی سیستم‌های انتقال دارد. مفاهیم و روش‌های مختلفی در بررسی زبری‌های سطح بکار گرفته شده است. برخی از این روش‌ها بر پایه زبری‌سنجدی و استفاده از دستگاه‌ها و تجهیزات موجود در این زمینه استوار می‌باشد. از این‌رو، زبری جنس‌های جداره لوله‌ها و مقاومت جریان در برابر جداره لوله و رسوبگذاری در گذر زمان در خطوط لوله به روش‌های مختلف مطالعه و بررسی می‌گردد. عمدۀ تحقیقات صورت گرفته در این زمینه شامل زبری‌سنجدی سطح در لوله‌های از جنس فولاد، مس و یا لوله‌های پلاستیکی و یا روکش‌دار بوده است.

**روش:** در این مطالعه زبری سطح داخلی لوله‌های فایبرگلاس، که کمتر مورد بررسی قرار گرفته، با استفاده از روش‌های آزمایشگاهی و دستگاه‌های زبری‌سنجدی ارزیابی شده است. نتایج کالیبراسیون و صحبت‌سنجدی دستگاه زبری‌سنجدی سطح بر روی سطوح کاغذ سمباده و جداره لوله پولیکا ارزیابی شده است. همچنین، نتایج زبری سطح داخلی لوله‌های فایبرگلاس در چندین قطر و دو نوع جنس مختلف لوله ارائه شده است. علاوه بر این، اثر پارامترهای زبری، زبری سطح محاسبه شده با استفاده از آن‌ها و همچنین اثر زمان و بکارگیری لوله فایبرگلاس در خطوط انتقال آب نیز بررسی شده است.

**یافته‌ها:** در این تحقیق به اندازه‌گیری زبری سطح داخلی لوله‌های فایبرگلاس با استفاده از دستگاه تست کننده زبری و برآورد پارامترهای مختلف زبری پرداخته شد و تاثیر هریک از این پارامترهای زبری را در برآورد مقدار زبری سطح بررسی گردید. بر اساس نتایج آزمایشات این تحقیق، پارامترهای زبری  $R_a$  و  $R_z$  به ترتیب در طول برش  $0.8 \times 0.5$  پارامترهای مناسبی جهت برآورد زبری سطح داخلی لوله فایبرگلاس می‌باشند. همچنین زبری سطح داخلی لوله‌های دو محوری بطور متوسط کمتر از لوله‌های تک محوری می‌باشد. علاوه بر این، در مقایسه زبری لوله‌های فایبرگلاس تازه تولید شده و قدیمی، پارامترهای زبری سطح در اثر گذر زمان و بکارگیری لوله فایبرگلاس در پروژه‌ها، به سبب فرسایش کاهش می‌یابند که این ناشی از حداقل‌های زبری‌های ناگهانی سطح داخلی لوله می‌باشد. در حالی که، پارامترهای زبری مرتبط با جنس لوله، در لوله‌های قدرتمند نو تغییر چندانی نداشته که نشانگر ثابت ماندن زبری متوسط سطح لوله‌ای فایبرگلاس در گذر زمان می‌باشد.

**نتیجه‌گیری:** بر اساس نتایج دستگاه SJ-210 Surftest در برآورد زبری سطح داخلی لوله‌های فایبرگلاس نتایج بهتری نسبت به سایر ابزارها دارد و دقت محاسباتی نسبت به مقدار ارتفاع زبری گزارش شده برابر لوله‌های فایبرگلاس برابر با  $98/84$  درصد می‌باشد. در لوله پولیکا (U-PVC) نیز مشابه با لوله فایبرگلاس مقدار زبری متوسط این نوع لوله را با دقت بالایی با استفاده از پارامتر زبری  $R_a$  با طول برش  $2/5$  برآورد نموده است.

تاریخ دریافت: ۱۴۰۱/۱۱/۱۴

تاریخ داوری: ۱۴۰۱/۱۱/۱۶

تاریخ پذیرش: ۱۴۰۲/۰۱/۲۵

از دستگاه خود برای اسکن و خواندن  
مقاله به صورت آنلاین استفاده کنید



DOI:

[10.30495/wej.2024.31547.2377](https://doi.org/10.30495/wej.2024.31547.2377)

### واژه‌های کلیدی:

دستگاه‌های زبری‌سنجدی سطح، لوله پلاستیکی  
تقویت شده با شیشه (GRP)، پارامترهای  
زبری، کاغذ سمباده، لوله پولیکا

\* نویسنده مسئول: فرنوش آقایی دانشور

نشانی: گروه آب و سازه هیدرولیکی، دانشکده عمران و محیط زیست، دانشگاه صنعتی شیراز، شیراز، ایران.

تلفن: ۰۹۱۷۷۳۸۹۴۹۹

پست الکترونیکی: [fdaneshvar90@gmail.com](mailto:fdaneshvar90@gmail.com)

## مقدمه

بر اساس آزمایش‌های بسیار بر لوله‌های تجاری رابطه ضریب افت اصطکاک با توجه به مقدار زبری نسبی لوله‌ها را ارائه نمود. لوله‌ها عموماً بر اساس ارتفاع زبری‌های سطح جدار داخلی لوله (۴) در دو نوع لوله صاف و زبر وابسته به جنس و نحوه ساخت لوله موجود می‌باشند. علاوه بر این ماهیت جریان هم در میزان تاثیر زبری جدار در مقاومت جریان موثر است. زبر لایه لزج (۵) یک لایه لزج ورقه‌ای است که در نزدیک دیواره لوله به علت شرط مرزی بدون لغزش دیواره و کاهش سرعت جریان در نزدیک جدار و حاکم شدن جریان ورقه‌ای تشکیل می‌شود و ضخامت آن با کاهش عدد رینولدز افزایش می‌یابد. نتایج آزمایش‌ها نشان داده است که زبری موثر (۶) اثری در جریان آرام یا ورقه‌ای ندارد و در واقع لوله از لحاظ هیدرولیکی صاف است و جریان بر روی زبر لایه ورقه‌ای حرکت می‌کند. اما در جریان متاباطم و زمانی که ارتفاع زبری‌های جدار بیشتر از ضخامت زبر لایه لزج یا ورقه‌ای باشد، لوله زبر در نظر گرفته می‌شود و زبری‌های جدار در جریان اصلی در مقطع لوله تاثیر خواهد داشت (۷، ۸). با افزایش عدد رینولدز ضخامت زبر لایه ورقه‌ای کاهش یافته و زبری‌های جدار پارامتر مهمی در مقاومت جریان خواهد بود و نقش غالب را در رژیم متاباطم زبر تکامل یافته، اینا می‌کند و متناسب با توان دوم سرعت جریان است (۹). مطالعه اثر زبری جدار در نیروی اصطکاک و افت فشار در جریان آرام و متاباطم (۱۰-۱۱) اهمیت و نیاز به کنترل و ارزیابی سورفولوژی سطح جدار لوله در عملکرد سیستم‌های سیالاتی را نشان می‌دهد (۱۲).

با پیشرفت تجهیزات مهندسی ابزارهای مختلف و روش‌های گوناگونی برای اندازه‌گیری زبری‌های جدار سطوح و لوله بکار رفته است. فرشاد و همکاران (۱۳، ۱۲) و فرشاد و پساکرتا (۱۴) با استفاده از دو ابزار پروفایل متری سطح <sup>۳</sup>ST Dektak و تست کننده زبری سطح Hommel<sup>۴</sup>T1000 ناهمواری و زبری سطح داخلی انواع مختلف لوله‌های با پوشش داخلی مدرن را اندازه‌گیری کردند (۱۵). همچنین با استفاده از ابزار میکروسکوپ نیروی اتمی (AFM) بعد <sup>۵</sup>۳۰۰۰ تصویر دیجیتالی دقیق سه بعدی از سطح نمونه کوچک لوله با پوشش‌های مختلف داخلی تهیه و زبری سطح داخلی لوله با این ابزار که جز زیرمجموعه میکروسکوپ پروب اسکن می‌باشد ارزیابی شده است. بر اساس نتایج مطالعه آنها تهیه تصویر دیجیتالی با AFM، و زبری برآورد شده از آن برای آنالیزهای شیمیانی سطح بیشتر مناسب هستند. در سال‌های اخیر، اثر زبری سطح داخلی بر افت فشار به صورت عددی توسط نرم‌افزارهای CFD، ANSYS/Fluent در لوله‌های با قطر کوچک (۱۶) و در جریان کانال آرام (۱۷) مدل‌سازی شده است. همچنین روشها و تجهیزات جدیدی جهت اندازه‌گیری زبری سطح و مشخصات آن ارائه شده است (۲۰-۱۸). نتایج حاصل از ابزارهای پروفیل متری سطح برای ارزیابی ناهمواری‌ها و زبری‌های سطح که در جریان متاباطم موثرند، کاربرد دارد. در تحقیقات زبری سنجی فرشاد و همکاران (۱۲)، (۲۱) ارزیابی‌های عددی و تحلیل‌های آماری نیز بر روی نتایج زبری

یکی از معمولی‌ترین و مهمترین مسائل در مکانیک انتقال سیالات، تخمین میزان افت انرژی و فشار در سیستم‌های لوله‌کشی می‌باشد که تاثیر بسزایی در تعیین اجزاء و سیستم‌های پمپاژ و قدرت و توان آنها دارد. کاهش انرژی و افت فشار سیالات در سیستم‌های لوله‌کشی به جهت تعییر ارتفاع سیستم، وجود زبری جدار لوله‌ها و همچنین جریان‌های داخلی و متاباطم که به واسطه تعییرات ناگهانی مسیر، قطر، سطح مقطع لوله‌ها و استفاده از سایر اجزا شامل شیرها و زانویها و ... به وقوع می‌پیوندد. بررسی و ارزیابی هر کدام از این عوامل به روش‌های مختلف تجربی و محاسباتی می‌تواند تاثیر بسزایی در کنترل افت فشار شکه‌های لوله کشی و صرفه جویی در مقدار انرژی لازم در سیستم‌های پمپاژ داشته باشد. یکی از این عواملی که افت اصطکاکی در شبکه لوله کشی را ایجاد می‌کند می‌تواند به واسطه مقاومت تمامی حاصل از زبری جدار لوله در برابر جریان ایجاد شود. بنابراین زبری جدار داخلی لوله عامل مهمی در افت اصطکاکی جریان در لوله است که بسته به جنس، فورم ساخت، قطر و عمر لوله می‌تواند تاثیر متفاوتی داشته باشد. به علت وجود پیچیدگی‌های بسیار در زبری سطوح، ارزیابی کمی آنها مشکل است، علاوه بر اینکه یک تعریف کامل از زبری سطوح نه تنها نیاز دارد که ارتفاع زبری‌ها را محاسبه کند بلکه، باید فاصله و طرح‌های مختلف زبری‌های سطوح را نیز در نظر بگیرد. جنس و شیوه ساخت لوله‌های مختلف سبب می‌شود که ارتفاع زبری سطوح متفاوت باشند. بر اساس مطالعات منابع مهندسی در مقدار ارتفاع استاندارد زبری (۴)، لوله‌ها به دو دسته لوله‌های صاف<sup>۱</sup> و زبر<sup>۲</sup> تقسیم تقسیم می‌شوند. لوله‌های فایبرگلاس دارای محیط و سطح داخلی صاف می‌باشند که از مزایای این نوع لوله‌ها است و منجر به کاهش افت انرژی و کاهش مقاومت در برابر جریان در این نوع لوله‌ها می‌شود. همچنین، این مشخصه لوله‌های فایبرگلاس منجر به کاهش توان مورد نیاز سیستم پمپ‌های بکار رفته در خطوط انتقال این نوع لوله‌ها می‌گردد که تاثیر بسزایی در صرفه جویی و کاهش هزینه‌ها دارد. سطح داخلی این لوله‌ها عموماً در برابر عبور بیشتر سیالات در طول زمان صاف باقی می‌ماند. سطح صاف داخلی این نوع لوله‌ها سبب می‌شود که برای انتقال جریانی با ظرفیت معین قطر لوله کمتری نسبت به سایر لوله‌ها مورد نیاز باشد (۱).

در سال‌های گذشته ابزار پروفیلومتری برای اندازه‌گیری زبری سطح داخلی لوله وجود نداشت و زبری لوله‌ها و افت اصطکاک از طریق آزمایش‌های هیدرولیکی محاسبه می‌شد. نیکورادزه (۲) با در نظر گرفتن زبری مصنوعی از طریق چسباندن دانه‌های یکنواخت شن و ماسه با قطر معین در سطح داخلی لوله‌ها زبری نسی (۴/d) را معادل قطر دانه‌ها به قطر لوله جریان تعریف کرد و با استفاده از لوله‌های مختلف و قطرهای متفاوت ذرات شن و ماسه، آزمایشاتی را برای تعیین زبری‌های نسبی مختلف طراحی نمود. مودی (۳) همبستگی زبری نسبی و ضریب اصطکاک را در نموداری برای جنس لوله‌ها و شرایط جریان مختلف بر اساس نتایج زبری مصنوعی دانه‌های شن تهیه نمود. کلبروک (۴) هم

۱ - Smooth

۲ - Rough

۳ - Viscous sublayer

۴ - Dektak 3ST Surface Profilometer

۵ - Roughness Tester HOMMEL

۶ - Dimension 3000 atomic force microscope (AFM)

موج دار بودن و فورم در یک سطح زبر را نشان می‌دهد. هر یک از این سه مولفه پهنانی باند طول موج مشخصی را دارا می‌باشد و دو طول برش یکی برای پایین و یکی برای بالای باند هر یک از آنها مورد نیاز است. بنابراین طول برش ( $\lambda_c$ ) برای طول موج بالاگذر و ( $\lambda_a$ ) پایین گذر، باند زبری را معین می‌کنند و بر طبق استانداردهای ASME B46.1 (۲۷)، DIN EN ISO 4288 (۲۸)، DIN EN ISO 4287 (۲۹) و DIN 4768/1 (۳۰) مقادیر این طول برش‌ها و طول نمونه‌گیری تعیین می‌شود. پروفیلی که بعد از اعمال فیلتر پایین گذر در مقادیر اندازه‌گیری شده با استفاده از طول برش طول موج ( $\lambda_a$ ) حاصل می‌شود پروفیل اولیه نامیده می‌شود که معمولاً با پارامتر  $P$  شناخته می‌شود (شکل ۱). پروفیلی که از فیلتر شدن پایین گذر پروفیل اولیه با طول موج برش  $\lambda_c$  حاصل می‌شود (شکل ۱) که به دنبال آن فیلتر بالاگذر با طول موج برش  $\lambda_a$  در آن اعمال می‌شود پروفیل موج دار نامیده می‌شود که در حقیقت از کاربرد متوازن و توانمند فیلتر با طول موج برش  $\lambda_a$  و  $\lambda_c$  در پروفیل اولیه حاصل می‌شود و با پارامتر  $W$  تعیین می‌شوند. پروفیلی که پس از فیلتر شدن طول موج بالاگذر از پروفیل اولیه با طول موج برش  $\lambda_c$  حاصل می‌شود پروفیل زبری است که معمولاً با پارامتر  $R$  معرفی می‌شود و در طول ارزیابی  $In$  که معمولاً شامل پنج طول نمونه  $In$  می‌باشد، ارزیابی می‌شود (شکل ۱). طول نمونه برداری با طول برش  $\lambda_c$  از فیلتر مشخصات مطابقت دارد.

### پارامترهای زبری

در تحقیقات صورت گرفته تعیین و اندازه‌گیری زبری‌های جدار سطوح و لوله مورد توجه محققین و مهندسین بوده است. برای ارزیابی اثر زبری بر طبق استاندارد DIN EN ISO 4287 (۲۹) پارامترهای زبری شامل زبری میانگین حسابی<sup>۱۵</sup> ( $R_a$ )، عمق متوسط زبری<sup>۱۶</sup> ( $Rz$ )، حد اکثر زبری<sup>۱۷</sup> ( $Rt$ ، میانگین مربعات زبری<sup>۱۸</sup> ( $Rq$ ) و بخش مادی پروفیل<sup>۱۹</sup> زبری سطح ( $Rmr(c)$ ) در نظر گرفته شده است. میانگین حسابی که از متوسط مجموع کل قدر مطلق مقادیر انحرافات پروفایل ارزیابی شده زبری سطح ( $Zi$ ) از خط میانگین و  $n$  تعداد داده‌های زبری است (شکل ۲) که از رابطه (۱) محاسبه می‌شود.

$$Ra = \frac{1}{n} \sum_{i=1}^n |Zi| \quad (1)$$

سنجه انجام شده است. فرشاد و همکاران (۱۳)، تست اندازه‌گیری ضریب افت اصطکاک لوله‌های مختلف در سیستم جریان گاز نیتروژن خشک را در موسسه تحقیقاتی SWRI<sup>۷</sup>، را انجام داده‌اند. از مطالعات آماری بر روی نتایج زبری-سنجه پارامتر  $Rz$  تطابق بهتری را با نتایج حاصل از تست جریان نشان داده است. همچنین، فرشاد و همکاران (۲۱)، بر اساس مطالعاتشان یک نمودار درباره زبری نسبی در مقابل قطر چند نوع از لوله‌های با پوشش داخلی مدرن و جدولی برای زبری مطلق این لوله‌ها ارائه نمودند. روابط مختلفی برای هریک از انواع لوله‌ها بین قطر لوله و زبری نسبی بر اساس متوسط برداشت‌های زبری-سنجه نمونه‌ها از گرافهای ترسیم شده بدست آورده‌اند. همچنین در این مطالعه مقدار زبری مطلق لوله‌های با روکش داخلی فایبرگلاس ۳۸ میکرون بدست آورده شده است. قبیری و همکاران نیز رابطه جدیدی برای ضریب اصطکاک بر اساس مطالعات خود در لوله‌های با پوشش مدرن در مهندسی شیمی و نفت ارائه نمودند.

در این تحقیق به بررسی و مطالعه زبری سطح داخلی لوله‌ای فایبرگلاس<sup>۸</sup> AWWA<sup>۹</sup> (۱۹۹۹)، پلاستیک تقویت شده شیشه<sup>۱۰</sup> تولیدی در شرکت تولیدی و صنعتی فراسان که با تکنولوژی جدید و فناوری برتر تولید شده‌اند، می‌پردازم. در طول این مطالعه تلاش می‌شود که با زبری سنتجی و اندازه‌گیری زبری سطح داخلی لوله‌های فایبرگلاس با ابزار پروفیلومتری مقادیر زبری سطح داخلی لوله‌های فایبرگلاس را در قطرهای مختلف تعیین و مورد مقایسه و بررسی قرار دهیم. هدف از این مطالعه صحت-سنجه و ارزیابی دقیق‌تر زبری سطح داخلی لوله فایبرگلاس و مقایسه با سایر سطوح می‌باشد. همچنین، در این مقاله روابط تئوری و تجربی در پارامترهای مختلف زبری را مورد بررسی قرار می‌دهیم. علاوه بر این تاثیر انواع روش ساخت لوله‌های فایبرگلاس در دو نوع پیوسته و ناپیوسته و اثر عمر لوله و کاربرد آن در خطوط لوله فایبرگلاس را بر روی زبری سطح داخلی ارزیابی می‌نماییم.

### مواد و روش‌ها تئوری زبری سطح

هر سطح دارای نوعی بافت است که به شکل مجموعه‌ای از قله‌ها و دره‌های است که از نظر ارتفاع و فاصله متفاوت بوده که نتیجه روش تولید آن سطح است. سه جز اصلی بافت هر سطح شامل زبری<sup>۱۱</sup>، موج دار<sup>۱۲</sup> و فورم<sup>۱۳</sup> است که زبری سطح ناشی از جنس ماده و شیوه ساخت ایجاد می‌شود. موج دار بودن سطح در حقیقت یک انحنای کلی است که به نظر می‌رسد بر روی زبری اعمال شده است و فورم یک انحراف در مقیاس بزرگتر است (۲۶-۲۳). شکل ۱ تفاوت و تفکیک بین زبری،

۱۴ - Arithmetic average roughness

۱۵ - Arithmetic average roughness

۱۶ - Mean roughness depth (Mean peak-to-valley height)

۱۷ - Total height of the roughness profile (Maximum roughness)

۱۸ - Mean square of roughness

۱۹ - Material portion of profile

۷ - South West Research Inst

۸ - Fiberglass Reinforced Plastic (FRP)

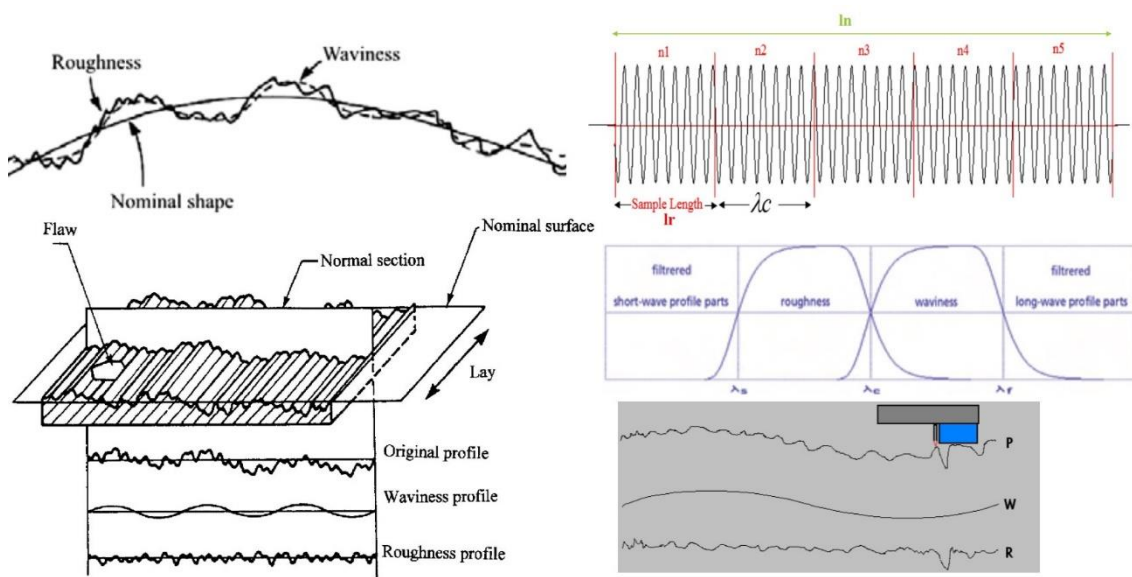
۹ - American Water Works Association

۱۰ - Glass Reinforced Plastic (GRP)

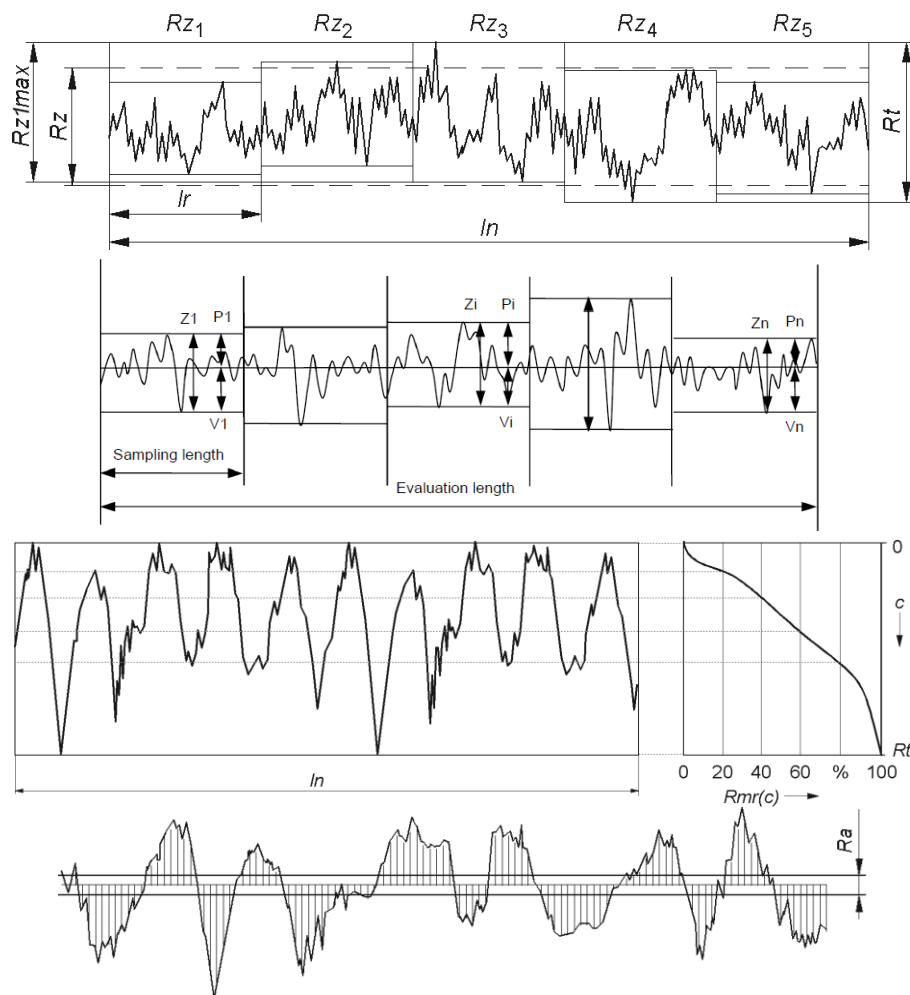
۱۱ - Roughness

۱۲ - Waviness

۱۳ - Form

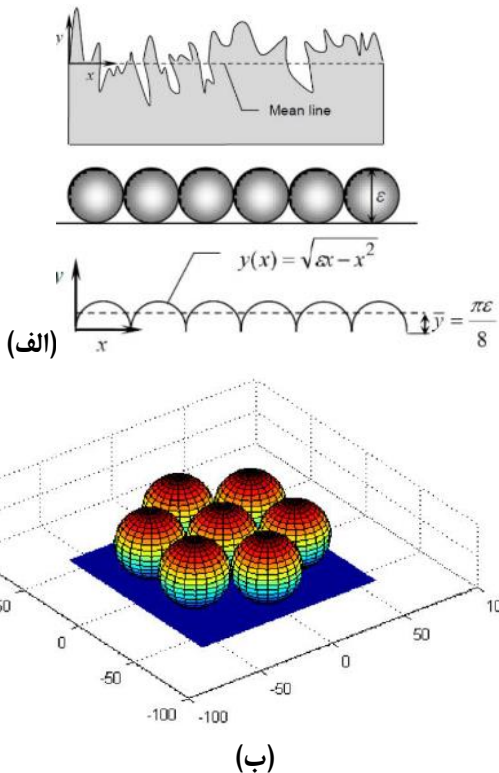


شکل ۱- استخراج پروفیل زبری از بروفیل اولیه و موج دار (۲۷، ۲۵، ۲۴) و تعیین طول نمونه برداری و طول ارزیابی از پروفیل زبری بر اساس طول برش



شکل ۲ - پارامتر زبری میانگین حسابی ( $R_a$ ), عمق متوسط زبری ( $Rq$ ) و بخش مادی پروفیل زبری سطح (۳۲) ( $Rmr(c)$ )

(۲) دارد لذا ضریب تصحیحی برای استفاده از دیاگرام مودی نیاز نمی- باشد (۳۶).



شکل ۳ - (الف) مدلسازی زبری سطح با دانه‌های یکنواخت شن و ماسه برای برآورد پارامترهای زبری میانگین حسابی زبری دانه شن و ماسه ( $Rasg$ ), (ب) مدلسازی کره‌های بسته بندی شده شش گوشه ایجاد شده در متلب برای برآورد پارامتر میانگین حسابی زبری برآورده شده دانه شن و ماسه ( $Raesg$ ) (۳۳)

### اندازه‌گیری زبری سطح

روشهای مختلفی برای اندازه‌گیری زبری‌های جدار سطوح و لوله بکار رفته است که شامل دو روش کلی پروفیلی و سطحی می‌باشد. در روش پروفیلی زبری بصورت خطی با استفاده از پربوب<sup>۲۲</sup> اندازه‌گیری می‌شود در حالی که در روش سطحی برداشت داده‌ها بصورت سه بعدی و با روش‌های مشاهدات نوری می‌باشد. ابزارهای اندازه‌گیری زبری سطح بر اساس اینکه با سطح در تماس هستند یا نه، به دو گروه اصلی اندازه‌گیری با تماس<sup>۲۳</sup> و اندازه‌گیری بدون تماس<sup>۲۴</sup> تقسیم می‌شوند. دقت در برداشت داده زبری سطح در روش تماسی با توجه به شعاع قلم

۲۲ - Probe

۲۳ - Contact-Based Measurement

۲۴ - Non-Contact-Based Measurement

مقدار میانگین مربیات زبری در واقع ریشه مربع مقدار انحراف ( $Zi$ ) از خط میانگین پروفایل زبری می‌باشد که از رابطه (۲) محاسبه می‌شود.

$Rq$  نسبت به  $Ra$  بیشتر به مقدار حداکثر و حداقل پروفیل زبری حساس می‌باشد.

$$Rq = \left( \frac{1}{n} \sum_{i=1}^n |Zi|^2 \right)^{1/2} \quad (2)$$

$Zi$  مجموع  $Vi$  و  $Pi$  در هریک از ۵ قسمت طول نمونه در شکل ۲ می‌باشد که از میانگین گیری مقدار  $Zi$  مقدار عمق متوسط زبری ( $Rz$ ) محاسبه می‌شود.

$$Rz = \frac{Rz_1 + Rz_2 + Rz_3 + Rz_4 + Rz_5}{5} \quad (3)$$

ارتفاع کل پروفیل زبری یا حداکثر زبری ( $Rt$ ), مجموع فاصله از خط متوسط تا حداکثر ارتفاع یا پست ترین دره پروفیل زبری و فاصله از خط ارتفاع تا حداقل ارتفاع یا پست ترین دره پروفیل زبری در کل طول ارزیابی  $In$  می‌باشد. در شکل ۲ مقدار ارتفاع کل زبری ( $Rt$ ) نشان داده شده است. در این مطالعه مقدار ارتفاع کل زبری حداکثر ( $Rtmax$ ), که معادل حداکثر مقدار  $Rt$  در کل پروفیل برداشتی از سطح می‌باشد، نیز برای ارزیابی زبری سطح استفاده شده است.

پارامتر میانگین حسابی زبری دانه شن و ماسه<sup>۲۰</sup> ( $Rasg$ ) توسط آدام و گرنت (۳۳) برای برآورد زبری معادل دانه‌های یکنواخت شن و ماسه با قطر معین ارائه شده است. نیکورادزه زبری مصنوعی معادل با زبری دانه‌های یکنواخت شن و ماسه با قطر معین را برای سطح داخلی لوله در آزمایشگاه در نظر گرفت. آدام و گرنت (۳۳) با مدلسازی زبری سطح مطابق با دانه‌های شن و ماسه یکنواخت (شکل ۳) و با استفاده از رابطه ریاضی معادل با دانه‌های شن و ماسه یکنواخت رابطه ۴ برای ارتفاع زبری سطح (۴)، متناسب با زبری میانگین حسابی ( $Ra$ ) که از پروفیلومتری سطح حاصل می‌شود، ارائه کرده است. آدام و گرنت (۳۳)، با استفاده از نرم افزار متلب زبری سطح را با کره‌های بسته بندی شده شش گوشه مدلسازی کرده (شکل ۳) و میانگین حسابی زبری برآورده شده دانه شن و ماسه<sup>۲۱</sup> را از رابطه ۵، محاسبه کرده‌اند. در مطالعه حاضر پارامترهای زبری میانگین حسابی زبری دانه ماسه ( $Rasg$ ) و میانگین حسابی زبری برآورده شده دانه شن و ماسه ( $Raesg$ ) نامیده شده است و محاسبه و ارزیابی شده است.

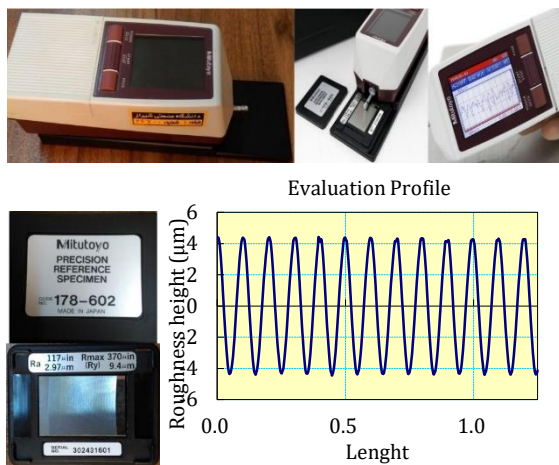
$$Rasg = \epsilon = 11.03Ra \quad (4)$$

$$Raesg = \epsilon = 5.863Ra \quad (5)$$

کاندیلیکار و همکاران (۳۶) پارامترهایی را بر اساس مشخصات مختلف زبری ارزیابی کردند و یک گروه از سه پارامتر  $R_p$  متوسط حداکثر  $F_p$  ارتفاعات اوج پروفیل،  $RS_m$  متوسط فواصل ناظم‌نمایی‌های پروفیل و  $F_p$  فاصله کف از خط متوسط ( $R_a$ ) ارائه کرده‌اند که مقدار زبری (۴)، از جمع دو مقدار  $R_p$  و  $F_p$  بدست می‌آید. این تعریف مقدار مشابهی با مقدار زبری بدست آمده از دانه شن در آزمایش‌های دارسی (۳۵) و نیکورادزه

۲۰ - Sand-grain roughness arithmetic average

۲۱ - Estimated sand-grain roughness arithmetic average



**شکل ۴- نمونه دستگاه تست کننده قابل حمل زبری سطح SJ-210، قطعه شاهد و پروفیل زبری سطح آن جهت صحبت‌سنگی.**

برای اطمینان از صحبت‌سنگی این دستگاه در برداشت زبری سطح یک قطعه از کاغذ سمباده شماره ۴۰۰ توسط این دستگاه، زبری‌سنگی شد (شکل ۵) و یکی از نمونه پروفیل‌های ترسیم شده از زبری سطح کاغذ سمباده به وسیله دستگاه در شکل ۵ نشان داده شده است. پروفیل کاغذ سمباده به واسطه تراکم تقریباً یکنواخت زبری‌های روی سطح شکل تقریباً مشابهی دارد که با فرم خاصی تکرار می‌شود. با ۶ بار اندازه‌گیری از این نمونه کاغذ سمباده مقدار میانگین پارامترهای زبری سطح با مقدار طول برش  $0/25$  میلی‌متر برآورده شد. مقدار میانگین زبری متوسط کاغذ سمباده  $Ra = 13/5$  میکرون و مقدار میانگین ارتفاع زبری دانه‌های کاغذ سمباده  $Rt = 34/49$  میکرون را محاسبه شده است. از نتایج تحقیقات صورت گرفته روی ۴ نوع مختلف کاغذ سمباده توسط شین و همکاران در سال  $2008^{(40)}$ ، مقدار ارتفاع متوسط زبری کاغذ سمباده  $400$  برابر با  $2/55 \pm 35/24$  (۳۷/۷۹ - ۳۲/۶۹) میکرون می‌باشد که مقدار میانگین ارتفاع زبری ( $Rt$ ) اندازه‌گیری شده کاغذ سمباده  $400$  با دستگاه تست کننده زبری

بین  $2$  تا  $10$  میکرون و در روش بدون تماس لیزری (میکروسکوپ لیزری) با توجه به شاعع نقطه لیزری به اندازه  $2/0$  میکرون کمتر می‌باشد<sup>(37)</sup>. ابزارهای مختلف با دقتهای مختلف را با روش پروفیلومتری همچون پروفیلومتر<sup>(38)</sup>، دستگاه اندازه‌گیری پروفیل سطح<sup>(39)</sup> (SPG) (پروفیلمتر)، PosiTector<sup>(40)</sup>، وسیله اندازه‌گیری دیجیتالی پروفیل سطح<sup>(41)</sup>، پروفیل متر سطح<sup>(42)</sup> Dektak<sup>3ST</sup>، پروفیلومتر تست کننده زبری<sup>(43)</sup> (PCE-RT)، تست کننده زبری سطح Hommel<sup>(44)</sup> و تست کننده قابل حمل زبری سطح<sup>(45)</sup> (Surftest) جهت ارزیابی زبری سطوح ساخته شده است.

دستگاه تست کننده قابل حمل زبری سطح (Surftest SJ-210) که با دقتهای سرعت بیشتر قابلیت برداشت زبری‌های سطح را دارد و پروفیل زبری سطح را بر روی صفحه نمایشگر LCD و در نرم افزار بر روی کامپیوتر ترسیم می‌کند، در این مطالعه جهت ارزیابی زبری سطح داخلی لوله‌های فایبرگلاس استفاده شده است. در این دستگاه یک قلم از جنس الماس با حرکت روی سطح جسم که کاملاً عمود به مسیر دستگاه برداشت زبری است، تا حداقل مقدار  $17/5$  میلی‌متر، می‌تواند زبری روی سطح را اندازه‌گیری کند. شاعع این قلم  $5$  میکرون است و با زوایای  $90^\circ$  و  $60^\circ$  درجه می‌تواند روی سطح قرار گیرد. سرعت حرکت آن بین  $0/25$  (mm/s) تا  $7/75$  (mm/s) میلی‌متر در ثانیه و سرعت برگشت قلم  $1$  (mm/s) است. دقتهای برداشت زبری سطح از  $0/02$  تا  $0/02$  میکرون به ترتیب برای طول  $360$  تا  $25$  میکرون بر طبق استاندارد ISO 1997 می‌باشد. شکل ۴، یک نمونه از دستگاه اندازه‌گیری زبری سطح را نشان می‌دهد. این دستگاه حداقل ارتفاع زبری  $360$  میکرون را می‌تواند برداشت کند. در این دستگاه بر اساس استاندارد DIN 4287 (۴۶) و EN 4288 (۴۷) و فیلتر گوس<sup>(48)</sup> منحنی‌های سطح و نوسانات از مقادیر زبری‌های اندازه‌گیری شده از سطح حذف و اصلاح می‌شود. با انجام این کار، نقاط سطح از جمله ترکها، خراشیدگی‌ها و فرورفتگی‌های سطح به عنوان زبری سطح مطرح نشده و اندازه‌گیری نمی‌شوند. برای این دستگاه  $5$  طول برش ( $0/08 \lambda c$ ) و  $8/0$  میلی‌متر تعریف شده است. همچنین برای حذف موج در اندازه‌گیری‌های زبری سطح در این دستگاه از سه طول موج  $2/5$ ،  $0/8$  و  $0/02$  میکرون استفاده شده است. بر اساس استاندارد DIN 4768/1 (۱۹۷۸) (۴۹) چنانچه مقدار  $Rz$  بین  $0/5$  تا  $10$  میکرون باشد، طول نمونه اندازه‌گیری زبری باید  $4/8$  میلی‌متر باشد که طول برش  $0/8$  میلی‌متر و  $Ra$  بین  $0/1$  تا  $2$  میکرون است. اگر مقدار  $Rz$  بین  $10$  تا  $30$  میکرون باشد، طول نمونه باید  $12/5$  میلی‌متر باشد و طول برش  $2/5$  میلی‌متر و  $Ra$  بین  $10$  تا  $1$  میکرون است. برای طول برش  $2/5$  میلی‌متر هم طول نمونه  $1/25$  میلی‌متر و مقدار  $Rz$  بین  $1/0$  تا  $0/5$  میکرون و  $Ra$  بین  $0/02$  تا  $0/1$  میکرون است.

29 - Profilometer - Roughness Tester (PCE-RT)

30 - Portable Surface Roughness Tester (Surftest)

31 - Filter GAUSS

25 - IRASOL (PFM 5020)

26 - Surface Profile Gage (SPG)

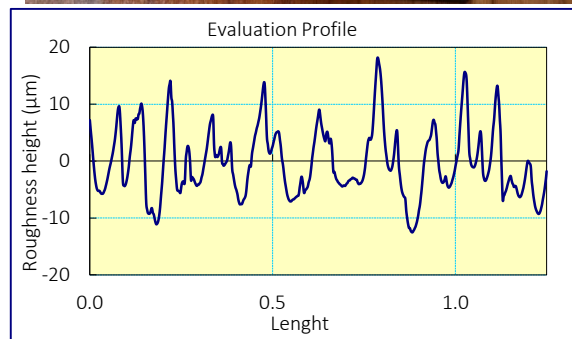
27 - PosiTector Surface Profile Gage (PT-SPG)

28 - Digital Surface Profile Gauge

با قطر بیشتر از ۳۰۰ میلی‌متر و ناپیوسته (DFW)، با قطر کمتر از ۳۰۰ میلی‌متر لوله‌ها در زبری سطح داخلی آنها، نمونه‌هایی از قطرهای مختلف لوله در دو رنج مختلف کمتر و بیشتر از ۳۰۰ میلی‌متر انتخاب و تهیه شد. همچنین، جهت بررسی اثر جنس مواد بکار رفته در ساخت لوله‌ها به منظور استحکام مختلف آنها، نمونه‌هایی از دو نوع مختلف تک محوری<sup>۳۲</sup> و دو محوری<sup>۳۳</sup> لوله‌ها با مواد بکار رفته در ساخت آنها که دو نوع پلی‌استر<sup>۳۴</sup> و وینیل‌استر<sup>۳۵</sup> می‌باشد، تهیه شد. لوله‌ها با قطرهای ۲۰، ۴۰، ۱۵۰، ۳۰۰، ۲۰۰، ۸۰۰ و ۱۰۰۰ میلی‌متر از نوع تک محوری می‌باشند. البته از دو قطر ۲۰۰ و ۸۰۰ میلی‌متر از نوع دو محوری نیز به منظور مقایسه مشخصات زبری لوله‌های تک محوری و دومحوری نمونه تهیه شده است. همچنین، به منظور ارزیابی زبری لوله‌ها پس از استفاده در خطوط انتقال آب یک نمونه از لوله با قطر ۱۰۰۰ میلی‌متر که ۱۵ سال در خط انتقال آب سنقر بوده است تهیه و لوله ۱۰۰۰ قدیمی نامیده شد. شکل ع نمونه لوله‌های تهیه شده در قطرهای مختلف و مشخصات آنها را نشان می‌دهد.

### نتایج

زبری سطح سطح داخلی نمونه لوله‌های فایبرگلاس تهیه شده با استفاده از دستگاه تست کننده زبری سطح مورد ارزیابی قرار گرفت (شکل ۷) و برداشت‌های زبری از سطح هریک از لوله‌ها به طول ۱۰ الی ۱۲ سانتی‌متر با سه طول برش ۰/۸، ۰/۲۵ و ۰/۲۵ انجام شد. بدین ترتیب بر اساس استاندارد زبری، برای طول برش، ۰/۰۲۵، ۰/۰۱۱ الی ۰/۰۰۴۳ برداشت به فواصل ۱/۲۵ میلی‌متر، برای طول برش ۰/۰۸، ۰/۰۲۵ برداشت به فواصل ۴ میلی‌متر و برای طول برش ۰/۰۲۵ برداشت به فواصل ۱۲/۰۵ میلی‌متر صورت گرفت. داده‌های استخراج شده از این برداشت‌ها بصورت پروفیل زبری سطح برای هریک از طول برش‌ها در تمامی قطرهای در شکل ۸ و ۹ ترسیم شده است. همانطور که از تصاویر مشخص می‌باشد، با افزایش مقدار طول برش چون طول برداشت نمونه به وسیله دستگاه بیشتر می‌شود و هم زبری‌های بزرگتری از سطح در برداشت دیده می‌شود، مقادیر زبری بزرگتری برای سطح حاصل می‌شود. و به همین جهت مقادیر زبری و به ویژه حداقل و حداقل مقادیر با طول برش بیشتر افزایش یافته است. پروفیل‌های زبری بدست آمده از نتایج دستگاه تست کننده زبری سطح نشان می‌دهد که این دستگاه ناهمواری‌ها و شبیه‌ها و موج‌های موجود در سطح را از نتایج زبری سطح جدا می‌کند و تنها ارتفاع زبری‌های سطح را بدون اثر سایر عوامل محاسبه می‌کند. ۱۲/۰۵ در هر برداشت زبری سطح با دستگاه Surftest محسوب می‌شود.



شکل ۵- نمونه قطعه کاغذ سمباده ۴۰۰ برای صحبت سنجی دستگاه تست کننده قابل حمل زبری سطح و پروفیل زبری سطح از قطعه کاغذ سمباده ۴۰۰.

میکرون محاسبه شده است. از نتایج تحقیقات صورت گرفته روی ۴ نوع مختلف کاغذ سمباده توسط شین و همکاران در سال ۲۰۰۸ (۴۰)، مقدار ارتفاع متوسط زبری کاغذ سمباده ۴۰۰ برابر با  $35/24 \pm 2/55$  میکرون می‌باشد که مقدار میانگین ارتفاع زبری (R<sub>t</sub>) اندازه‌گیری شده کاغذ سمباده ۴۰۰ با دستگاه تست کننده زبری سطح در بازه مقدار گزارش شده توسط شین و همکارانش می‌باشد و تنها ۰/۰۲۵ میکرون با مقدار متوسط آن اختلاف دارد که دارای دقت نسبی ۹۹/۳٪ می‌باشد. همچنین مقدار زبری متوسط Ra کاغذ سمباده ۴۰۰ گزارش شده توسط شین و همکاران (۴۰) برابر با  $5/47 \pm 0/839$  میکرون می‌باشد (۶۳۰.۹ - ۴/۶۳۱) میکرون می‌باشد که مقدار بدست آمده از اندازه‌گیری دستگاه تست کننده زبری در این مطالعه در این بازه می‌باشد و تنها ۰/۰۴۵۷ میکرون با مقدار متوسط آن اختلاف دارد که دارای دقت نسبی ۹۱/۶٪ می‌باشد. لذا دستگاه زبری کاغذ سمباده را با دقت بالایی برآورد نموده است.

برای انجام آزمایشات زبری سنجی بر روی لوله‌های فایبرگلاس و اندازه‌گیری زبری و پروفایلومتری به وسیله ابزار تست کننده زبری سطح (Surf test SJ-210) نمونه‌هایی با طول ۳۰ سانتی‌متر از جدار لوله‌های فایبرگلاس تهیه شد. به منظور بررسی اثر شیوه ساخت پیوسته (CFW)،

۳۴ - Polyester

۳۵ - Vinylester

۳۲ - Uni-Axial

۳۳ - Bi-axial



شکل ۶- مشخصات نمونه لوله‌ای فایبرگلاس انتخابی با قطرهای ۲۰، ۴۰، ۱۵۰، ۲۰۰، ۳۰۰، ۴۰۰، ۸۰۰ و ۱۰۰۰ میلی‌متر جدید و قدیمی جهت ارزیابی زبری سطح داخلی لوله



شکل ۷- قرائت سطح داخلی نمونه لوله فایبرگلاس (GRP) با قطرهای ۲۰، ۴۰، ۱۵۰، ۲۰۰، ۳۰۰، ۴۰۰، ۸۰۰ و ۱۰۰۰ میلی‌متر و لوله ۱۰۰۰ میلی‌متر قدیمی با استفاده از دستگاه تست کننده زبری سطح (Surftest SJ-210)

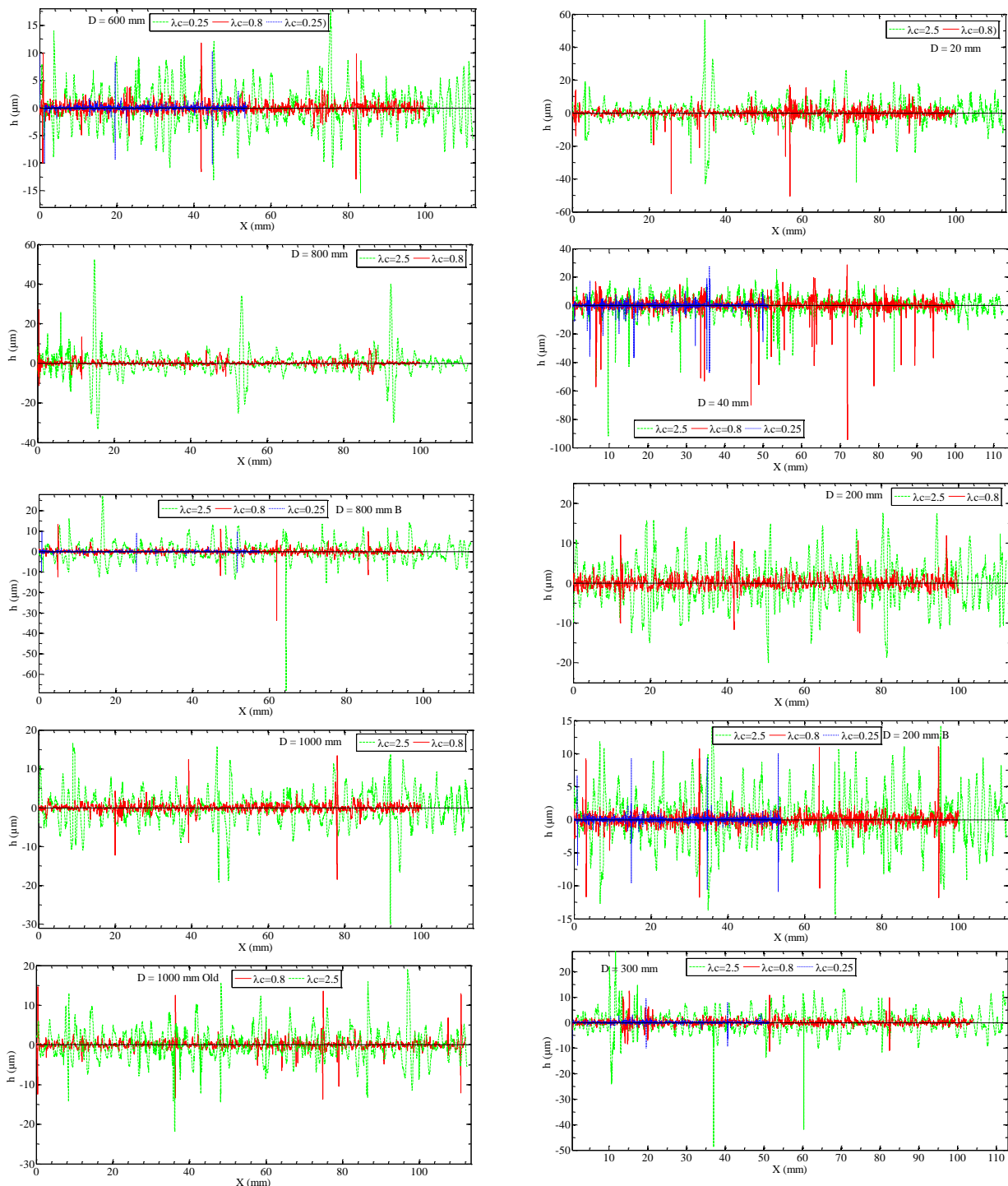
است. در این جدول مقادیر متوسط زبری مطلق  $\epsilon$  از پارامترهای زبری برآورد شده توسط دستگاه شامل  $Ra$  و  $Rz$  و مقادیر پارامترهای زبری محاسبه شده در این مطالعه شامل  $Rasg$ ,  $Rasg$  و  $Rasgmax$  و  $Rtmax$  در قطرهای مختلف در جدول ۱ ارائه شده است. بر اساس

SJ-210 پارامترهای زبری سطح توسط دستگاه محاسبه و نمایش داده می‌شود که مقادیر این پارامترها برای طول برش  $0.025$  و برای قطرهای  $400$ ,  $600$ ,  $800$  و  $1000$  میلی‌متر برای دو طول برش  $0.08$  و  $0.25$  در همه قطرها محاسبه شد و مقادیر متوسط آنها در جدول ۱ ارائه شده

قرار گرفته که در چند ردیف آخر جدول ۱ ارائه شده است. در هر دو ردیف همه لوله‌ها و لوله‌های تک محوری مقدار زبری حاصل از پارامترهای  $Rz$  با طول برش  $0/8$  به ترتیب  $5/12$  و  $5/79$  میکرون است که به مقدار  $5/18$  میکرون بسیار نزدیک است و اختلاف آنها  $0/06$  و  $0/61$  می‌باشد که بخوبی زبری سطح لوله فایبرگلاس را برآورد نموده است. لذا پارامتر زبری  $Rz$  با طول برش  $0/8$  هم در بازه استاندارد زبری هست و هم پارامتر مناسبی است که زبری متوسط لوله فایبرگلاس به واسطه جنس را با دقت نسبی  $98/84$  و  $88/2$  درصد به ترتیب در همه لوله‌های فایبرگلاس و لوله‌های تک محوری برآورد کرده است. پس از پارامتر زبری  $Rz$  پارامتر زبری  $Ra_{esg}$  برآورد مناسبی از زبری سطح لوله فایبرگلاس بطور متوسط داشته است. مقدار زبری متوسط لوله فایبرگلاس با استفاده از این پارامتر زبری  $5/57$  و  $6/22$  میکرون به ترتیب برای متوسط کل لوله‌ها و لوله‌های تک محوری فایبرگلاس بوده است. مقادیر برآورد شده با مقدار زبری استاندارد لوله فایبرگلاس به ترتیب  $0/39$  و  $0/4$  میکرون اختلاف دارد و دقت آن‌ها به ترتیب  $92/47$  و  $80/0$  درصد می‌باشد. مقادیر متوسط زبری به ازای هردو برش و به ازای همه قطرهای لوله و لوله‌های تک محوری نیز در ردیف‌های آخر جدول ۱ محاسبه شده است. نتایج آنها نشان می‌دهد که در حالت کلی برای کل طول برش‌ها پارامتر زبری  $Ra$  دارای خطای کمتری در اندازه‌گیری زبری سطح داخلی لوله فایبرگلاس بوده است. در مقایسه مقدار زبری (Uni-axial) اندازه‌گیری شده لوله‌های دو محوری (Bi-axial) و تک محوری ( $Ra_{esg}$ )، مقدار متوسط زبری حاصل از پارامترهای زبری در ستون آخر جدول ۱، نشان می‌دهد که در لوله‌های تک محوری زبری سطح داخلی بیشتر از لوله دو محوری در هر دو قطر  $200$  و  $800$  میلی‌متر می‌باشد. برداشت زبری سطح داخلی نمونه لوله‌ها در این مطالعه در جهت طول لوله بوده است و از آنجایی که لوله‌های تک محوری دارای مقاومت بالایی در جهت طول لوله می‌باشند و به جهت استفاده در انتقال سیالات به ویژه بصورت دفنی ساخته می‌شوند، لذا

استانداردهای زبری مقادیر زبری مطلق سطح باقیستی کمتر از  $200$  میکرون باشند زیرا مقادیر بیشتر طبق استاندارد زبری به عنوان زبری سطح مطرح نمی‌شوند، تمام مقادیر پارامترهای زبری برآورد شده در جدول ۱ که کمتر از  $200$  میکرون هستند به عنوان زبری سطح مطرح می‌باشند.

(۲۸) ISO 4288 DIN EN 4288 (۲۹)،  $Ra$ ، برای طول برش ( $\lambda c$ )  $0/25$  در بازه  $0/02$  تا  $1/0$  میکرون، برای طول برش  $0/8$  در بازه  $0/0$  تا  $2/0$  میکرون و برای طول برش  $2/5$  باید به ترتیب در بازه  $2/0$  تا  $10/0$  میکرون باشند. همچنین مقادیر پارامترهای زبری  $Rz$  یا  $Rt$  در بازه  $0/0$  تا  $5/0$  میکرون، برای طول برش  $0/8$  در بازه  $1/0$  تا  $5/0$  میکرون باشند در غیر اینصورت طول برش انتخابی مناسب سطح نمی‌باشد. مقادیر متوسط پارامترهای زبری  $Ra$  و  $Rz$  و محاسبه شده برای طول برش  $0/25$  (جدول ۱) و سایر پارامترها در بازه استاندارد زبری واقع نمی‌شوند. در نتیجه طول برش  $0/25$  مناسب برای ارزیابی زبری های سطح داخلی لوله‌ها نمی‌باشد. مقادیر متوسط پارامترهای زبری  $Ra$  و  $Rz$  و محاسبه شده برای قطرهای مختلف با طول برش  $0/8$  در جدول ۱، برای تمام مقادیر متوسط پارامترهای زبری در تمامی قطرهای بجز قطر  $40$  و پارامتر  $Rt$  در قطر  $20$ ، همه پارامترها در این بازه استاندارد قرار می‌گیرند که با رنگ خاکستری در جدول ۱ مشخص شده است. لذا طول برش  $0/8$  بجز در قطر  $40$  میلی‌متر در سایر قطرهای طول برش مناسب برای برآورد زبری می‌باشد. در سایر پارامترهای زبری با این طول برش فقط پارامتر  $Ra_{esg}$  در همه قطرهای بجز قطر  $40$  میلی‌متر در بازه استاندارد قرار می‌گیرد. مقادیر متوسط زبری مطلق پارامترهای زبری  $Ra$  و  $Rt$  یا برای طول برش  $2/5$  در قطرهای مختلف بجز پارامتر زبری در  $Rz$   $40$ ، همه مقادیر در بازه استاندارد قرار می‌گیرند و بنابراین، طول برش  $2/5$  برای محاسبه زبری با ابزار زبری سنجی SJ-210 و Surftest SJ-210 این جنس لوله‌ها در قطرهای مختلف به طور متوسط طول برش مناسبی می‌باشد. در این جدول مقادیر زبری مطلق محاسبه شده از پارامترهای  $Rtmax$  و  $Rasgmax$  در طول برش  $0/8$  در تمامی قطرها در بازه استاندارد زبری نمی‌باشند و در طول برش  $2/5$  تنها در برخی قطرهای در بازه استاندارد زبری می‌باشند. لذا این دو پارامتر مناسبی در برآورد زبری سطح داخلی لوله‌های فایبرگلاس نمی‌باشند. اما پارامترهای زبری  $Rt$ ،  $Rz$ ،  $Ra$  و  $Ra_{esg}$  در طول برش  $0/8$  در تمامی قطرهای بجز در قطر  $40$  میلی‌متر و در طول برش  $2/5$  بجز پارامتر  $Rt$  در قطر  $40$  میلی‌متر در سایر قطرهای در بازه استاندارد زبری برای این طول برش‌ها می‌باشند. همچنین، نتایج زبری محاسبه شده از پارامتر زبری  $Ra$  در همه طول برشها و در پارامتر زبری  $Rz$  برای قطر بیشتر از  $40$  میلی‌متر بجز طول برش  $2/5$  کمتر از مقدار  $5/18$  میکرون زبری استاندارد لوله فایبرگلاس که در منابع مهندسی (۴۱) گزارش شده است، می‌باشد و در پارامتر  $Rz$  با طول برش  $2/5$  بیشتر از مقدار زبری استاندارد است. مقادیر زبری سطح داخلی لوله به ازای پارامترهای زبری مختلف برداشت شده و محاسبه شده با مقدار طول برش‌های  $0/8$  و  $2/5$  برای متوسط همه قطرهای لوله‌های تک محوری مورد مطالعه



شکل ۹- پروفیل تهیه شده از قرائت سطح داخلی نمونه لوله فایبرگلاس با قطرهای ۶۰۰، ۸۰۰، ۱۰۰۰ میلی‌متر و لوله ۱۰۰۰ میلی‌متر قدیمی و استفاده از دستگاه تست کننده زبری سطح Surftest SJ-210

مقاومت بیشتر جنس مواد بکار رفته در ساخت آنها و استفاده از شن در دیواره سبب زبری بیشتر در دیواره داخلی لوله نیز شده است. هرچند لوله‌های دو محوری نیز قابلیت مقاومت در برابر تنش‌های برشی در هر

شکل ۸- پروفیل تهیه شده از قرائت سطح داخلی نمونه لوله فایبرگلاس با قطرهای ۲۰، ۴۰، ۱۵۰، ۲۰۰، ۳۰۰، ۸۰۰، ۱۰۰۰ میلی‌متر و لوله ۱۰۰۰ میلی‌متر قدیمی و استفاده از دستگاه تست کننده زبری سطح Surftest SJ-210

**جدول ۱ - مقادیر زبری مطلق محاسبه شده از سطح داخلی لوله GRP به وسیله دستگاه Surftest SJ-210 با مقادیر طول برش ( $\lambda_c$ ) و قطر های مختلف.**

$d$ (mm)	$(\lambda_c)$	$\varepsilon$ (Ra) (μm)	$\varepsilon$ (Rz) (μm)	$\varepsilon$ (Rasg) (μm)	$\varepsilon$ (Raesg) (μm)	$\varepsilon$ (Rtmax) (μm)	$\varepsilon$ (Rasgmax) (μm)	$\varepsilon$ (Rt) (μm)	$\bar{\varepsilon}$ (μm)
20	0.8	1.45	8.38	16.04	8.53	67.12	38.84	18.90	22.75
	2.5	4.98	23.96	54.92	29.19	99.24	97.30	44.07	50.52
	0.25	0.98	5.26	10.86	5.77	75.33	68.99	12.47	25.67
	0.8	2.41	16.06	26.55	14.11	122.87	59.02	39.74	40.11
40	2.5	4.63	30.58	51.05	27.14	108.92	59.67	54.60	48.08
	0.8	0.93	4.39	10.21	5.43	21.57	21.50	7.94	10.28
150	2.5	4.94	20.36	54.51	28.97	41.35	86.19	31.87	38.31
	0.8	0.98	4.19	10.81	5.75	23.06	20.33	7.57	10.38
200	2.5	4.18	17.24	46.05	24.48	36.12	56.59	27.37	30.29
	0.25	0.19	1.17	2.07	1.10	20.99	9.70	3.13	5.48
200 B	0.8	0.62	3.29	6.79	3.61	22.85	13.11	6.78	8.15
	2.5	2.84	12.73	31.37	16.67	27.73	47.26	20.99	22.80
	0.25	0.18	1.24	2.04	1.08	20.22	8.68	3.14	5.23
300	0.8	0.74	3.78	8.17	4.34	22.03	24.50	6.85	10.06
	2.5	3.13	15.83	34.47	18.32	56.63	45.49	32.26	29.45
	0.25	0.15	1.03	1.69	0.90	20.33	7.67	2.61	4.91
600	0.8	0.61	3.13	6.74	3.58	23.27	12.36	6.49	8.03
	2.5	2.75	12.63	30.39	16.15	32.99	41.14	19.96	22.29
	0.8	0.74	3.33	8.20	4.36	38.51	22.32	7.11	12.08
800	2.5	3.96	18.53	43.73	23.25	85.60	90.15	36.29	43.07
	0.25	0.16	0.96	1.74	0.92	19.71	10.47	2.37	5.19
	0.8	0.73	3.49	8.03	4.27	39.25	13.52	8.36	11.09
800 B	2.5	3.45	16.04	38.07	20.24	81.37	52.99	31.21	34.77
	0.8	0.63	3.06	6.92	3.68	31.84	16.95	6.48	9.94
	2.5	3.25	13.79	35.87	19.06	43.85	51.21	22.89	27.13
1000	0.8	0.62	3.23	6.81	3.62	27.17	15.54	7.92	9.27
	2.5	2.88	13.19	31.81	16.91	30.63	38.95	24.01	22.63
	0.8	0.95	5.12	10.48	5.57	39.96	23.45	11.29	13.83
All	2.5	3.73	17.72	41.11	21.85	58.58	60.63	31.41	33.58
	Average	2.34	11.42	25.795	13.71	49.27	42.04	21.35	23.705
Uniaxial	0.8	1.06	5.79	11.71	6.22	43.78	26.98	12.64	15.45
	2.5	3.98	19.12	43.87	23.32	63.09	65.97	33.66	36.14
Average		2.52	12.45	27.79	14.77	53.435	46.475	23.15	25.8

بیشتری داشته است و به همین جهت زبری حاصل از این پارامترها در لوله دو محوری بیشتر از تک محوری بوده است. در حالی که زبری حاصل از سایر پارامترها در لوله دو محوری کمتر از تک محوری است. به منظور بررسی دقیق زبری مطلق محاسبه شده از دستگاه تست کننده زبری سطح مقدار خطای محاسباتی جذر میانگین مربعات (RMSE) آنها نسبت به مقدار زبری مطلق لوله فایبرگلاس (5/18 میکرون) محاسبه می‌شوند. مقدار زبری مطلق لوله فایبرگلاس (5/18 میکرون) میانگین مربعات به ازای قطر ۲، ارائه شده است. مقادیر حداقل خطای جذر محاسبه و در جدول ۲، ارائه شده است. مقادیر حداقل خطای جذر میانگین مربعات به ازای طول برش‌های مختلف با رنگ زمینه خاکستری مشخص شده است که رنگ سبز نشان دهنده حداقل این خطای به ازای هر قطر می‌باشد. مقدار حداقل قدر مطلق خطای نسبی هر قطر نیز در ستون آخر نشان محاسبه شده است. همانطور که در جدول

دو جهت را دارند و بجز در جهت طول لوله در جهت عرض لوله نیز لذا مقاومت بیشتر جنس مواد بکار رفته در ساخت آنها و استفاده از شن در دیواره سبب زبری بیشتر در دیواره داخلی لوله نیز شده است. هرچند لوله‌های دو محوری نیز قابلیت مقاومت در برابر تنش‌های برشی در هر دو جهت را دارند و بجز در جهت طول لوله در جهت عرض لوله نیز ایاف‌های پشم شیشه‌جهت افزایش مقاومت لوله به کار رفته است، اما مقاومت طولی آنها کمتر از لوله‌های تک محوری بوده و بیشتر در روی سطح زمین استفاده می‌شوند. لذا زبری سطح داخلی لوله‌های دو محوری بطور متوسط همانطور که نتایج زبری سنجی هم نشان می‌دهد کمتر از لوله‌های تک محوری می‌باشد. در قطر ۲۰۰ میلی‌متر لوله تک محوری، به ازای همه پارامترهای زبری، این روند برقرار است و مقدار زبری لوله تک محوری بیشتر از لوله دو محوری (۲۰۰B) می‌باشد. اما در قطر ۸۰۰ میلی‌متر تنها در زبری حاصل از پارامترهای  $Rz$ ,  $Rt$ ,  $Rtmax$  و  $Rasgmax$  مقدار اندکی زبری در لوله دو محوری بیشتر از تک محوری شده است. این پارامترهای زبری متاثر از مقادیر حداقل و حداقل زبری می‌باشند و چون در لوله‌های دو محوری ایاف‌های عرضی در دیواره لوله افزایش داشته در مقادیر حداقل زبریها تأثیر

جدول ۲- خطا محاسباتی میانگین مربعات (RMSE) زبری مطلق حاصل از پارامترهای زبری برداشت شده و محاسبه شده از سطح داخلی لوله فایبرگلاس (GRP) به وسیله دستگاه تست کننده زبری سطح بر حسب میکرون و حداقل قدر مطلق خطا نسبی زبری مطلق لوله فایبرگلاس (۱۸/۵ میکرون) با مقدار طول برش ( $\lambda_c$ ) و قطرهای مختلف.

$d$ (mm)	$(\lambda_c)$	RMSE $\varepsilon$ (Ra)	RMSE $\varepsilon$ (Rz)	RMSE $\varepsilon$ (Rasg)	RMSE $\varepsilon$ (Raesg)	RMSE $\varepsilon$ (Rtmax)	RMSE $\varepsilon$ (Rasgmax)	RMSE $\varepsilon$ (Rt)	Min  E( $\varepsilon$ )
<b>20</b>	0.8	2.638	2.263	7.679	2.369	43.798	23.801	9.702	0.618
	2.5	0.141	13.279	35.171	16.978	66.510	65.139	27.499	0.039
<b>40</b>	0.25	2.970	0.057	4.016	0.417	49.604	45.120	5.155	0.015
	0.8	1.959	7.693	15.111	6.314	83.219	38.071	24.438	0.535
	2.5	0.389	17.961	32.435	15.528	73.355	38.530	34.945	0.106
<b>150</b>	0.8	3.005	0.559	3.557	0.177	11.589	11.540	1.952	0.048
	2.5	0.170	10.734	34.882	16.822	25.576	57.283	18.873	0.046
<b>200</b>	0.8	2.970	0.700	3.981	0.403	12.643	10.713	1.690	0.110
	2.5	0.707	8.528	28.899	13.647	21.878	36.352	15.691	0.193
<b>200 B</b>	0.25	3.528	2.835	2.199	2.885	11.179	3.196	1.450	0.396
	0.8	3.224	1.336	1.138	1.110	12.495	5.607	1.131	0.303
	2.5	1.655	5.339	18.519	8.125	15.945	29.755	11.179	0.452
<b>300</b>	0.25	3.536	2.786	2.220	2.899	10.635	2.475	1.442	0.394
	0.8	3.140	0.990	2.114	0.594	11.915	13.661	1.181	0.162
	2.5	1.450	7.531	20.711	9.291	36.381	28.503	19.148	0.396
<b>600</b>	0.25	3.557	2.934	2.468	3.026	10.713	1.761	1.817	0.481
	0.8	3.231	1.450	1.103	1.131	12.792	5.077	0.926	0.253
	2.5	1.718	5.268	17.826	7.757	19.665	25.428	10.451	0.469
<b>800</b>	0.8	3.140	1.308	2.135	0.580	23.568	12.120	1.365	0.158
	2.5	0.863	9.440	27.259	12.777	56.866	60.083	21.998	0.236
<b>800 B</b>	0.25	3.550	2.984	2.432	3.012	10.274	3.741	1.987	0.542
	0.8	3.147	1.195	2.015	0.643	24.091	5.897	2.249	0.176
	2.5	1.223	7.679	23.257	10.649	53.874	33.807	18.406	0.334
<b>1000</b>	0.8	3.217	1.499	1.230	1.061	18.851	8.323	0.919	0.251
	2.5	1.365	6.088	21.701	9.815	27.344	32.548	12.523	0.373
<b>1000 old</b>	0.8	3.224	1.379	1.153	1.103	15.549	7.326	1.937	0.301
	2.5	1.626	5.664	18.830	8.294	17.996	23.879	13.315	0.444

جدول ۳- مقدار خطا محاسباتی میانگین مربعات (RMSE) زبری پارامترهای مختلف بر حسب میکرون با طول برش  $8/0$  و  $2/5$  در لوله فایبرگلاس تک محوری قدیمی نسبت به لوله نو برای قطر  $1000$  میلی‌متر

$d$ (mm)	$(\lambda_c)$	RMSE $\varepsilon$ (Ra)	RMSE $\varepsilon$ (Rz)	RMSE $\varepsilon$ (Rasg)	RMSE $\varepsilon$ (Raesg)	RMSE $\varepsilon$ (Rtmax)	RMSE $\varepsilon$ (Rasgmax)	RMSE $\varepsilon$ (Rt)	Min  E( $\varepsilon$ )
<b>1000</b>	0.8	0.007	0.120	0.078	0.042	3.302	0.997	1.018	0.016
<b>old</b>	2.5	0.262	0.424	2.871	1.520	9.348	8.669	0.792	0.044

جدول ۴- زبری مطلق برداشت شده و محاسبه شده از سطح داخلی لوله فایبرگلاس به وسیله دستگاه تست کننده زبری با مقدار طول برش ( $\lambda_c$ ) مختلف و مقادیر میانگین آنها.

$d$ (mm)	$(\lambda_c)$	$\varepsilon$ (Ra) ( $\mu\text{m}$ )	$\varepsilon$ (Rz) ( $\mu\text{m}$ )	$\varepsilon$ (Rasg) ( $\mu\text{m}$ )	$\varepsilon$ (Raesg) ( $\mu\text{m}$ )	$\varepsilon$ (Rtmax) ( $\mu\text{m}$ )	$\varepsilon$ (Rasgmax) ( $\mu\text{m}$ )	$\varepsilon$ (Rt) ( $\mu\text{m}$ )
<b>120</b>	0.25	0.74	4.17	8.13	4.32	8.92	11.80	5.78
	0.8	1.11	7.50	12.25	6.51	14.15	17.20	9.48
	2.5	1.46	10.80	16.13	8.57	18.32	19.68	13.23
<b>Average</b>		1.10	7.49	12.17	6.47	13.80	16.23	9.50

در خطوط انتقال تقریباً پکسان می‌ماند. حداقل خطای نسبی در ستون آخر جدول ۳ نیز تایید کننده این مطلب می‌باشد که با دقت  $\frac{98}{4}$  و  $\frac{95}{6}$  درصد به ترتیب برای طول برش  $0/8$  و  $2/5$  مقدار زبری مطلق لوله قدمی نسبت به نو تغییر زیادی نداشته است.

به منظور مقایسه و صحت سنجی عملکرد دستگاه تست کننده زبری نمونه‌ای از لوله پولیکا<sup>۳۶</sup> (U-PVC) با قطر  $120$  میلی‌متر با طول  $30$  سانتی‌متر تهیه شد و زبری سطح داخلی آن با این دستگاه برداشت شد (شکل ۱۰). با انتخاب سه طول برش  $0/8$ ،  $0/0/8$  و  $2/5$  برداشت‌هایی از سطح لوله به طول  $5$  سانتی‌متر انجام شد. بدین ترتیب که برای طول برش  $0/8$ ،  $0/0/8$  و  $2/5$  برداشت به فواصل  $1,25$  میلی‌متر و برای طول برش  $4/8$ ،  $11$  برداشت به فواصل  $4$  میلی‌متر و برای طول برش  $4/2/5$  برداشت به فواصل  $12/5$  میلی‌متر صورت گرفت. داده‌های استخراج شده بصورت پروفیل زبری سطح برای هریک از طول برش‌ها در شکل U-ترسیم شده است. متوسط زبری مطلق ( $\bar{x}$ ) سطح داخلی لوله PVC با استفاده از پارامترهای زبری برای طول برش مختلف در جدول ۴ ارائه شده است. مقادیر متوسط پارامترهای زبری به ازای طول برش  $0/2/5$  در بازه استاندارد زبری نمی‌باشد اما برای طول برش  $0/8$  و  $2/5$  در بازه استاندارد می‌باشد که با رنگ خاکستری هم در جدول نشان داده شده است. در این جدول مقادیر زبری مطلق محاسبه شده از پارامترهای زبری  $Ra$ ،  $Rt$ ،  $Rz$  برای طول برش  $0/8$  و تمامی پارامترها برای طول برش  $2/5$  در بازه استاندارد قرار دارند.

در لوله U-PVC، U مخفف غیرپلاستیک است تنها تفاوت لوله PVC حذف مواد پلاستیک ساز فتالات و PVC در لوله U-PVC می‌باشد. لذا لوله U-PVC دارای استحکام بیشتری نسبت به لوله PVC است و معمولاً پلاستیک سفت و سخت نامیده می‌شود. ارتفاع زبری مطلق ذکر شده در منابع مهندسی (۴۱) برای لوله PVC  $1/5$  میکرون می‌باشد. بررسی نتایج متوسط زبری مطلق سطح داخلی لوله U-PVC در جدول ۴ در مقایسه با مقدار گزارش شده آن که برابر با لوله PVC  $1/5$  میکرون در نظر گرفته شده، نشان می‌دهد که پارامتر زبری  $Ra$  با طول برش  $2/5$  بهترین تطابق را با مقدار زبری گزارش شده در منابع را دارد و اختلاف آن در حدود  $0/0/38$  میکرون و دقت محاسباتی آن  $\%97/46$  می‌باشد. لذا، پارامتر  $Ra$  با طول برش  $2/5$  پارامتر مناسبی برای ارزیابی ضریب زبری ناشی از زبری سطح داخلی این نوع لوله می‌باشد. مقادیر متوسط زبری به ازای تمام مقادیر طول برشها نیز در ردیف آخر جدول ۴ نیز نشان می‌دهد که پارامتر  $Ra$  مشابه لوله فایبرگلاس پارامتر مناسبی برای برآورد زبری لوله U-PVC نیز می‌باشد.

۲، دیده می‌شود، نتایج زبری محاسبه شده از پارامترهای زبری  $Ra$  و  $Rt$  و  $Rz$  دارای حداقل خطا در هر یک از قطرهای هستند و حداقل خطای محاسبه شده و دقیق ترین زبری سطح داخلی لوله فایبرگلاس در جدول ۲ برای قطرهای کمتر از  $150$  میلی‌متر بیشتر مربوط به پارامتر زبری  $Ra$  با طول برش  $2/5$  و در قطرهای بالاتر بیشتر مربوط به پارامتر زبری  $Rt$  و  $Rz$  با طول برش  $0/8$  می‌باشد. لذا در محاسبه زبری مطلق سطح لوله فایبرگلاس پارامترهای  $Ra$  با طول برش  $2/5$  و  $Rt$  با طول برش  $0/8$  پارامترهای مناسبی جهت ارزیابی زبری حاصل از جنس لوله فایبرگلاس می‌باشند. مقادیر حداقل مطلق حداقل خطای نسبی زبری برداشت شده نسبت به زبری مطلق برای قطرهای کمتر از  $150$  میلی‌متر با طول برش  $0/8$  و برای بیشتر از  $150$  میلی‌متر بجز قطر  $40$  میلی‌متر با طول برش  $2/5$  کمینه خطأ حاصل شده و برای قطر  $40$  میلی‌متر طول برش  $0/25$  کمترین خطأ و بیشترین دقت ( $98/5$  درصد) را داشته است.

جهت بررسی اثر کارکرد و یکارگیری لوله‌های فایبرگلاس در پروژه‌های آبرسانی بر روی مقادیر ضرایب زبری این لوله‌ها، یک نمونه از لوله فایبرگلاس تک محوری با قطر  $1000$  میلی‌متر تازه تولید شده و یک نمونه از لوله فایبرگلاس تک محوری که پس از  $15$  سال استفاده در خطوط آبرسانی سنقر از خط خارج شده با مشخصاتی مشابه تهیه شد. رسوبات که در سطح داخلی لوله خارج شده از خط آبرسانی ته نشین شده از سطح نمونه زدوده شد و مقادیر زبری سطح داخلی این لوله با دستگاه‌های زبری سنجی برداشت شد. پس از انجام محاسبات مقدار زبری سطح با استفاده از پارامترهای زبری در جدول ۱ برای لوله  $1000$  قدمی تهیه گردید. مقایسه زبری لوله‌های فایبرگلاس نو و قدیمی با قطر  $1000$  میلی‌متر و طول برش مختلف نشان می‌دهد که زبری لوله قدیمی اندکی کمتر از لوله نو شده است که این به جهت فرسایش و کاهش زبری جنس سطح لوله در گذر زمان می‌باشد. در نتیجه زبری لوله‌ها در اثر استفاده در لوله‌های قدیمی کاهش یافته است. البته، در شبکه انتقال بواسطه رسوبگذاری مقدار ضریب زبری افزایش می‌یابد.

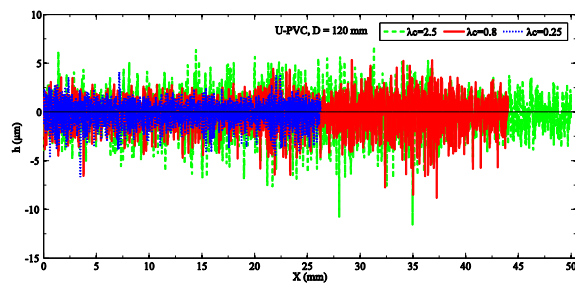
خطای میانگین مربعات زبری در لوله فایبرگلاس تک محوری قدیمی نسبت به لوله نو برای قطر  $1000$  میلی‌متر در جدول ۳ ارائه شده است. مقادیر خطای میانگین مربعات زبری بسیار اندک می‌باشد و مقادیر این خطاهای در طول برش  $2/5$  از  $0/8$  بیشتر می‌باشد. همچنین مقادیر خطای محاسباتی بیشتر از سایر ضرایب زبری در لوله قدیمی نسبت به لوله نو می‌باشد. این افزایش خطأ به مقدار بسیار ناچیز که حداقل  $9/34$  و  $2/3$  میکرون در پارامتر زبری  $Rtmax$  به ترتیب برای طول برش  $0/8$  و  $2/5$  می‌باشد ناشی از تاثیر تغییرات حداقل و حداقل ارتفاع زبری لوله قدیمی نسبت به لوله نو به واسطه تاثیرات فرسایش می‌باشد که در پارامترهای زبری که به حداقل و حداقل‌های زبری سطح و مراحل ساخت لوله واپسیت هستند، نمایان شده است. در حالی که تغییرات زبری جنس لوله فایبرگلاس قدمی و نو که در پارامتر زبری  $Ra$  به عنوان متوسط زبری جنس سطح مطرح می‌باشد، بسیار اندک و در حدود  $0/00/7$  و  $0/26$  میکرون به ترتیب برای طول برش  $0/8$  و  $2/5$  می‌باشد و به همین جهت می‌توان گفت که زبری جنس لوله فایبرگلاس در طول استفاده

<sup>36</sup> - Unplasticized PolyVinyl Chloride (U-PVC)

فایبرگلاس در گذر زمان و بکارگیری در خطوط انتقال می‌باشد. نتایج زبری‌سنجدی در لوله پولیکا (U-PVC) نیز نشان از صحت دستگاه تست کننده زبری در برآورد زبری سطح داخلی لوله داشت. پارامتر زبری  $Ra$  با طول برش  $2/5$  در لوله پولیکا نیز مشابه با لوله فایبرگلاس مقدار زبری متوسط این نوع لوله را با دقت بالایی برآورد نموده است.

### پیشنهادها

در تحقیقات آینده به بررسی نتایج زبری سنجدی لوله فایبرگلاس در سایر دستگاه‌های زبری‌سنجدی می‌توان پرداخت و ضربب افت اصطکاک جریان در لوله‌های فایبرگلاس و عوامل موثر در کاهش افت جریان در این نوع لوله‌ها را بررسی نمود.



شکل ۱۰- قرائت سطح داخلی نمونه لوله پولیکا (U-PVC) با قطر ۱۲۰ میلی‌متر با استفاده از دستگاه تست کننده زبری سطح و پروفیل تهیه شده از قرائت سطح داخلی نمونه لوله پولیکا (U-PVC).

### حامي مالي

از مجموعه تولیدی و صنعتی فراسان و مدیریت محترم آن جناب آقای دکتر محمد رضا ظهیر امامی و شرکت دانش بنیان و مرکز تحقیقاتی فراتک که شرایط و امکانات لازم جهت تهیه نمونه لوله‌ای فایبرگلاس و انجام این تحقیق به عنوان مطالعه بخشی از عملکرد رشته لوله‌ای فایبرگلاس تولیدی در این مجموعه را محقق ساخته اند کمال تشکر و سپاسگزاری را داریم. همچنین از آزمایشگاه مرکزی فیزیک دانشگاه صنعتی شیراز که امکان دسترسی به دستگاه تست کننده زبری را فراهم نمودند سپاسگزاریم.

### مشارکت نویسندگان

طراحی و ایده‌پردازی: فرنوش آقایی دانشور، ناصر طالب بیدختی، سید مهدی دهقان؛  
روش‌شناسی و تحلیل داده‌ها: فرنوش آقایی دانشور، سید مهدی دهقان، سید محمد مهدی الهمایان؛  
نظارت و نگارش نهایی: فرنوش آقایی دانشور، سید مهدی دهقان.

### تعارض منافع

بنابر اظهار نویسندگان، مقاله حاضر فاقد هرگونه تعارض منافع بوده است.

### بحث و نتیجه‌گیری

در این تحقیق به بررسی زبری سطح داخلی لوله‌های فایبرگلاس با استفاده از دستگاه تست کننده زبری و برآورد آن با پارامترهای مختلف زبری پرداختیم و تاثیر هریک از این پارامترهای زبری در برآورد زبری سطح را بررسی نمودیم. ارزیابی و صحت‌سنجدی دستگاه تست کننده زبری به وسیله کاغذ سمباده دقت مناسب این دستگاه در برآورد زبری سطح کاغذ سمباده تایید نمود. بر اساس نتایج آزمایشات این تحقیق، پارامترهای زبری  $Rz$  با طول برش  $1/8$  بطور متوسط پارامتر مناسبی برای برآورد زبری سطح داخلی لوله فایبرگلاس می‌باشد و پس از آن پارامتر زبری  $Ra_{esg}$  با طول برش  $1/8$  پارامتر مناسبی در برآورد زبری سطح بوده است. در طول برش  $2/5$  نیز پارامتر  $Ra$  پارامتر مناسبی جهت برآورد زبری سطح داخلی لوله فایبرگلاس می‌باشد. همچنین برداشت‌های زبری با دستگاه زبری‌سنجدی نشان داد که زبری سطح داخلی لوله‌های دو محوری بطور متوسط کمتر از لوله‌های تک محوری می‌باشد. علاوه بر این در مقایسه زبری لوله‌های فایبرگلاس تازه تولید شده و قدیمی، که از خط انتقال آبرسانی سنقر خارج شده است، با قطر ۱۰۰۰ میلی‌متر مشخص گردید که پارامترهای زبری سطح با اسas اختلاف حداکثر و حداقل‌های زبری سطح داخلی لوله تعیین می‌شوند و مرتبط با اثر مراحل ساخت لوله می‌باشند، در اثر گذر زمان و بکارگیری لوله فایبرگلاس در پروژه‌ها کاهش می‌یابند که این ناشی از فرسایش حداکثرهای زبری‌های ناگهانی سطح داخلی لوله می‌باشد. در حالی که، پارامترهای زبری که بیشتر بیانگر زبری متوسط سطح لوله و مرتبط با جنس لوله می‌باشند در لوله‌های قدیمی و نو تغییر چندانی نداشته و تقریباً ثابت بوده‌اند که نشانگر ثابت ماندن زبری متوسط سطح لوله‌های

**References**

1. Landolfo R. Lightweight steel framed systems in seismic areas: Current achievements and future challenges. *Thin-Walled Structures*. 2019;140:114-31.
2. Nikuradse J. Stromungsgesetze in rauhen Rohren. *vdi-forschungsheft*. 1933;361:1.
3. Moody LF. Friction factors for pipe flow. *Transactions of the American Society of Mechanical Engineers*. 1944;66(8):671-8.
4. Colebrook CF, Blench T, Chatley H, Essex E, Finniecome J, Lacey G, et al. Correspondence. turbulent flow in pipes, with particular reference to the transition region between the smooth and rough pipe laws.(includes plates). *Journal of the Institution of Civil engineers*. 1939;12(8):393-422.
5. Chadwick A, Morfett J, Borthwick M. *Hydraulics in civil and environmental engineering*: Crc Press; 2021.
6. Kudela H. *Hydraulic losses in pipes*. Wroclaw University of Science and. 2012.
7. Brkić D, Praks P. Unified friction formulation from laminar to fully rough turbulent flow. *Applied Sciences*. 2018; 8(11):2036.
8. Rawool A, Mitra SK, Kandlikar S. Numerical simulation of flow through microchannels with designed roughness. *Microfluidics and nanofluidics*. 2006;2:215-21.
9. Taylor JB, Carrano AL, Kandlikar SG. Characterization of the effect of surface roughness and texture on fluid flow—past, present, and future. *International journal of thermal sciences*. 2006;45(10):962-8.
10. Thomas T. *Rough Surfaces*, edited by Imperial College Press. London; 1999.
11. Ren J. Micro/nano scale surface roughness tailoring and its effect on microfluidic flow. 2013.
12. Farshad F, Rieke H, Garber J. New developments in surface roughness measurements, characterization, and modeling fluid flow in pipe. *Journal of Petroleum Science and Engineering*. 2001; 29(2):139-50.
13. Farshad FF, Rieke H, Mauldin C, editors. Flow test validation of direct measurement methods used to determine surface roughness in pipes (OCTG). SPE Western Regional/AAPG Pacific Section Joint Meeting; 2002: OnePetro.
14. Farshad FF, Pesacreta TC. Coated pipe interior surface roughness as measured by three scanning probe instruments. *Anti-Corrosion Methods and Materials*. 2003; 50(1):6-16.
15. Kleinstreuer C. *Modern fluid dynamics*: Springer; 2018.
16. Dzarma G, Adeyemi A, Taj-Liad A. Effect of Inner Surface Roughness on Pressure Drop in a Small Diameter Pip. *Int J Novel Res Eng Pharm Sci*. 2020; 7(1):1-8.
17. Liu Y, Li J, Smits AJ. Roughness effects in laminar channel flow. *Journal of Fluid Mechanics*. 2019; 876:1129-45.
18. Xue P, Huang Z, Chen C. Effect of Substrate Roughness on the Friction and Wear Behaviors of Laser-Induced Graphene Film. *Lubricants*. 2022;10(10):239.
19. Effendi MK, Soepangkat BO, Noorcahyo R, Batan IML, Wahyudi A, Harnany D, editors. An analysis of frictional coefficient and surface roughness in surface grinding of SKD 11 tool steel using Minimum Quantity Lubrication (MQL) and dry techniques. IOP

- Conference Series: Materials Science and Engineering; 2021: IOP Publishing.
20. Khaday S, Li K-W, Peng L, Chen C-C. Relationship between friction coefficient and surface roughness of stone and ceramic floors. Coatings. 2021;11(10):1254.
21. Farshad FF, Rieke HH. Surface-roughness design values for modern pipes. SPE Drilling & Completion. 2006; 21(03):212-5.
22. Manual A. M45: Fiberglass Pipe Design. American Water Works Association; 2005.
23. Raja J, Muralikrishnan B, Fu S. Recent advances in separation of roughness, waviness and form. Precision Engineering. 2002; 26(2):222-35.
24. Muralikrishnan B, Raja J. Computational surface and roundness metrology: Springer Science & Business Media; 2008.
25. Fadzil MA, Prakasa E, Fitriyah H, Nugroho H, Affandi AM, Hussein S. Validation on 3D surface roughness algorithm for measuring roughness of psoriasis lesion. International Journal of Biomedical and Biological Engineering. 2010; 4(3):82-7.
26. Blunt L, Jiang X. Advanced techniques for assessment surface topography: development of a basis for 3D surface texture standards "surfstand": Elsevier; 2003.
27. ASME B46.1. Surface texture—surface roughness, waviness, and lay. 1995.
28. Iso E. 4288-Geometrical product specifications (GPS)-Surface texture: profile method-Rules and procedures for the assessment. 1996.
29. Iso E. 4287-Geometrical product specifications (GPS)-Surface texture: profile method-terms, definitions and surface texture parameters. International Organization for Standardization: Geneva, Switzerland. 1997.
30. DIN4768/1. Determination of Surface Roughness of Parameters Ra, Rz, and Rmax by means of Electrical Stylus Instruments. Deutsche Inst fuer Normung eV Berlin; 1987.
31. Mitutoyo productivity quality INC. Surface Finish Analysis, Mitutoyo corporation 80th anniversary since 1934. 2014; 1-58.
32. Mitutoyo America corporation. Quick guide to surface roughness measurement, Reference guide for laboratory and workshop Bulletin. 2016; 2229, 1-888-MITUTOYO (1-888-648-8869).
33. Adams T, Grant C, Watson H. A simple algorithm to relate measured surface roughness to equivalent sand-grain roughness. International Journal of Mechanical Engineering and Mechatronics. 2012; 1(2):66-71.
34. Kandlikar SG, Schmitt D, Carrano AL, Taylor JB. Characterization of surface roughness effects on pressure drop in single-phase flow in minichannels. Physics of Fluids. 2005; 17(10):100606.
35. Darcy H. Recherches expérimentales relatives au mouvement de l'eau dans les tuyaux: Mallet-Bachelier; 1857.
36. Kandlikar SG. Single-phase liquid flow in minichannels and microchannels. Heat transfer and fluid flow in minichannels and microchannels. 2: Elsevier Oxford, UK; 2006. p. 87.
37. Brown CA. Introduction to surface roughness measurement roughness measurement guidebook. OLYMPUS Corporation Shinjuku Monolith, Tokyo 163-0914, Japan. N8600858-102020.
38. Mitutoyo corporation user's manual. Surface roughness tester SJ-210, No. 99MBB122A2, SERIES No. 178.
39. Mitutoyo America corporation. Surface roughness measurement, Practical tips for laboratory and workshop Bulletin,

- 1984, 1-888-MITUTOYO (1-888-648-8869). 2009.
40. Sheen S, Bao G, Cooke P. Food surface texture measurement using reflective confocal laser scanning microscopy. Journal of food science. 2008; 73(5):E227-E34.
41. Kessels PHL. Engineering toolbox for structural-acoustic design applied to MRI-scanners. 2003.